

ВЛИЯНИЕ ИЗОВАЛЕНТНЫХ ПРИМЕСЕЙ НА СТРУКТУРУ И СВОЙСТВА АМОРФНОГО КРЕМНИЯ

Павлов Д. А., Хохлов А. Ф., Кудрявцева Р. В., Ершов А. В.

Исследовано влияние изовалентных примесей (ИВП) (углерода, олова, германия) на структуру ближнего порядка и электрофизические свойства $a\text{-Si}$. Концентрация ИВП в $a\text{-Si}$ изменялась от 0 до 20 ат%. Легирование $a\text{-Si}$ изовалентными примесями осуществлялось путем магнетронного распыления составных мишеней кремний—графит, кремний—германий, кремний—олово.

Введение атомов Ge слабо влияет на структуру ближнего порядка. В то же время легирование оловом приводит к увеличению координационных радиусов, а легирование углеродом — к их уменьшению. При концентрации углерода ~ 20 ат% полностью исчезает III пик радиальной функции распределения электронной плотности. Отмечается также существенное возрастание концентрации оборванных связей N_s . В нелегированном $a\text{-Si}$ $N_s = 1.6 \times 10^{19} \text{ см}^{-3}$, а в $a\text{-Si}$, содержащем 20 ат% углерода, $N_s = 1.3 \cdot 10^{20} \text{ см}^{-3}$. Наблюдаемые изменения радиусов координационных сфер обусловлены различием ковалентных радиусов атомов ИВП и кремния. Это различие в ковалентных радиусах, кроме деформации связей, приводит также к искажению углов между связями и обрыву последних.

Структурные изменения приводят к изменению свойств этого полупроводника. Проводимость нелегированного $a\text{-Si}$ составляла $\sigma = 1 \cdot 10^{-7} \text{ Ом}^{-1} \cdot \text{см}^{-1}$. При введении ~ 20 ат% углерода в $a\text{-Si}$ σ повышается на 5 порядков величины. В случае легирования оловом и германием σ растет соответственно на 4 и 2–3 порядка. Анализ температурных зависимостей $\sigma(T)$ позволяет сделать вывод о том, что рост проводимости происходит за счет прыжковой компоненты и связан с увеличением плотности состояний вблизи уровня Ферми.

1. Введение. Основной причиной, сдерживающей техническое применение негидрогенизированного аморфного кремния, является слабая чувствительность проводимости этого материала к введению примесей III и V групп (бора, фосфора). В большинстве случаев в этом материале осуществляется смешанная проводимость из двух составляющих: проводимости по делокализованным состояниям (зонный механизм) и прыжковой проводимости по локализованным состояниям в щели подвижности настолько высока, что в результате сильной компенсации введение мелких донорных или акцепторных примесей не приводит к появлению дополнительных носителей в разрешенных зонах [1]. Таким образом, управление проводимостью путем изменения зонной компоненты не представляется возможным без предварительного снижения плотности локализованных состояний. Прыжковая проводимость негидрогенизированного $a\text{-Si}$ определяется довольно высокой плотностью состояний вблизи уровня Ферми N_F , который оказывается закрепленным в середине щели подвижности. Этот пик плотности состояний связан с сильными искажениями ближнего порядка, такими как деформация связей (вплоть до их обрыва), разброс валентных углов, наличие примесей и дефектов [1].

Введение изовалентных примесей (углерода, олова, германия), на наш взгляд, может быть использовано как один из способов воздействия на структуру ближнего порядка $a\text{-Si}$, а следовательно, и на его электрофизические свойства. С одной стороны, эти примеси являются примесями замещения и образуют тетраэдрическую координацию в кремнии, а с другой — отличие ковалентных радиусов атомов этих примесей от ковалентного радиуса атомов кремния должно приводить к изменению ближнего порядка.

Целью настоящей работы являлось изучение влияния изовалентных примесей (углерода, олова, германия) на структуру и электрофизические свойства $a\text{-Si}$.

2. *Методика эксперимента.* Слои $a\text{-Si}_{1-x}\text{C}_x$, $a\text{-Si}_{1-x}\text{Sn}_x$, $a\text{-Si}_{1-x}\text{Ge}_x$ получались методом магнетронного распыления на постоянном токе. (Предварительный вакуум в системе $1.3 \cdot 10^{-4}$ Па. Давление аргона в процессе напыления 0.13 Па. Температура подложек 300 К. Расстояние мишень—подложка 10 см. Мощность разряда 50 Вт). Катод планарного магнетрона закрывался кремниевой кристаллической мишенью. В зону распыления мишени (зону эрозии) помещались кусочки спектрально чистого графита, павески олова (ОСЧ) или германия. Состав получаемых слоев определялся методами электронной оже-спектроскопии и рентгеновского флуоресцентного анализа. Содержание изовалентных примесей (C, Sn, Ge) в пленках аморфного кремния изменялось от 0 до 20 ат $\%$.

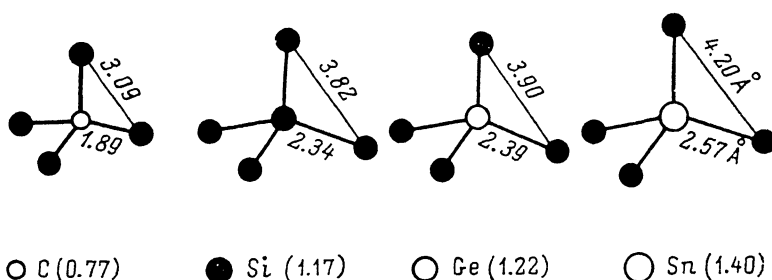


Рис. 1. Поллинговы тетраэдры с центральным атомом, замещенным изовалентной примесью.

В скобках указаны ковалентные радиусы атомов (в \AA).

Для измерения электропроводности на поверхность пленок, нанесенных на ситалл, напылялись алюминиевые контакты. Напряженность поля между контактами в процессе измерения не превышала 10^3 В/см. Для выяснения механизма переноса снимались температурные зависимости темновой проводимости. Изучались также спектры электронного парамагнитного резонанса ЭПР (регистрировались центры с $g=2.005$).

Анализ структуры ближнего порядка проводился по общепринятой методике [3], для чего пленки толщиной ~ 500 \AA напылялись на свежий скол кристаллов NaCl, а затем высаживались на металлическую сетку. От полученного препарата получались электронограммы с кратными экспозициями.

3. *Структура ближнего порядка $a\text{-Si}$, легированного атомами C, Sn, Ge.* Тетраэдрическая координация связей сохраняется при переходе кремния из кристаллического состояния в аморфное. Поллинговы тетраэдры (рис. 1), из которых образуется случайная сетка атомов, не обладают правильной формой. В $a\text{-Si}$ межатомные расстояния группируются около значения, равного 2 ковалентным радиусам кремния: $2r_{\text{Si}}=2.34$ \AA . Дополнительная деформация связей, а также искажение валентных углов при введении изовалентных примесей являются следствием изменения характерных размеров поллинговых тетраэдров с замещенным центральным атомом (рис. 1). Таким образом, при изовалентном легировании возникают не только связи примесь—Si, но и дополнительная деформация Si—Si-связей.

На рис. 2, 3 приведены радиальные функции распределения электронной плотности, построенные для аморфного кремния, легированного атомами C, Sn, Ge, на основе экспериментальных кривых интенсивности рассеяния электронов $I_s(s)$, где $s=4\pi \sin \theta/\lambda$, 2θ — угол рассеяния, λ — длина волны излучения. Нормировка $I_s(s)$ проводилась согласно [4] во всем экспериментальном диапазоне $s=0.6 \div 8$ \AA^{-1} .

$$\int_{s \min}^{s \max} k I_s(s) s^2 ds = \int_{s \min}^{s \max} \sum_{j=1}^n f_j^2(s) s^2 ds, \quad (1)$$

где k — коэффициент нормировки, f_j — фактор рассеяния электронов атомом j -го сорта. Например, для сплава $a\text{-Si}_{1-x}\text{C}_x$ при $x=0.2$

$$\sum_{j=1}^n f_j^2(s) = (1-x) f_{\text{Si}}^2(s) + x f_{\text{C}}^2(s) = 0.8 f_{\text{Si}}^2(s) + 0.2 f_{\text{C}}^2(s),$$

где зависимости $f_{\text{Si}}(s)$ и $f_{\text{C}}(s)$ брались из таблиц, приведенных в [3].

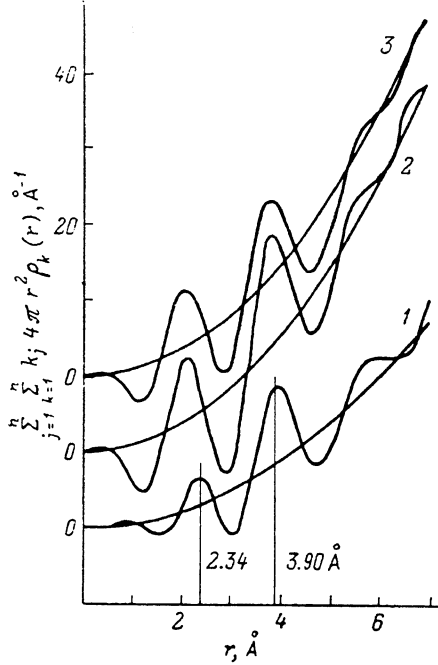


Рис. 2. Кривые радиального распределения электронной плотности в $a\text{-Si}$, легированном углеродом.

1 — нелегированный $a\text{-Si}$, 2 — $a\text{-Si}_{0.8}\text{C}_{0.1}$, 3 — $a\text{-Si}_{0.8}\text{C}_{0.2}$.

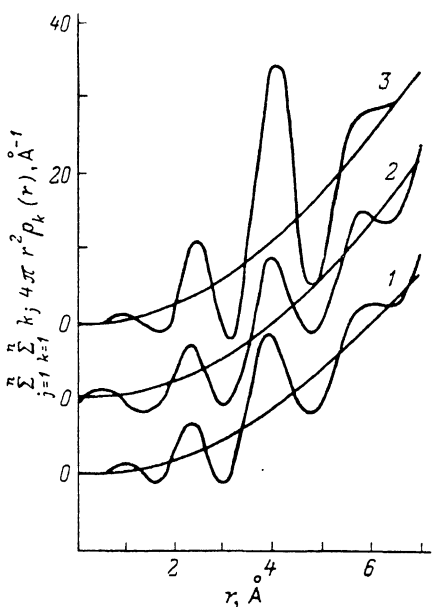


Рис. 3. Кривые радиального распределения электронной плотности в $a\text{-Si}$, легированном германием и оловом.

1 — нелегированный $a\text{-Si}$, 2 — $a\text{-Si}_{0.8}\text{Ge}_{0.2}$, 3 — $a\text{-Si}_{0.8}\text{Sn}_{0.15}$.

Фурье-преобразование, осуществляющее переход от нормированной интенсивности рассеяния электронов $I(s)=kI_s(s)$ к радиальной функции распределения электронной плотности, проводилось на основании уравнения, предложенного в работе [5] для анализа структуры ближнего порядка веществ сложного состава,

$$\sum_{j=1}^n \sum_{k=1}^n K_j 4\pi r^2 \rho_k(r) = 4\pi r^2 \left(\sum_{j=1}^n K_j \right)^2 \rho_0 + \frac{2r}{\pi} \int_0^\infty s \sum_{j=1}^n K_j^2 \left[\frac{I(s)}{\sum_{j=1}^n f_j^2(s)} - 1 \right] \sin(sr) ds, \quad (2)$$

где K_j — рассеивающая способность j -го атома, $\rho_k(r)$ — радиальная функция атомной плотности атомов k -го сорта, ρ_0 — средняя атомная плотность (число атомов, приходящихся на 1 Å^3). В случае многокомпонентных веществ, согласно [4], наиболее легкому сорту атомов (Л) приписывается $K_{\text{Л}}=1$, а для всех остальных атомов $K_j=(Z_j/Z_{\text{Л}})^{0.75}$, где Z_j и $Z_{\text{Л}}$ — порядковые номера j -го и легкого атомов. $\sum_{j=1}^n K_j$ и $\sum_{j=1}^n K_j^2$ вычислялись нами аналогично $\sum_{j=1}^n f_j^2$ (см. выше). При расчетах было принято значение $\rho_0=0.045 \text{ Å}^{-3}$, т. е. во всех случаях ра-

диальное распределение атомов приводилось к средней атомной плотности аморфного кремния ($\rho_0^{\text{аморф}} = 0.9 \rho_0^{\text{крист}}$). Незнание точного значения ρ_0 не позволяет определять координационные числа. Однако для качественных рассуждений о структуре ближнего порядка, определении координационных радиусов и межатомных расстояний такой подход, на наш взгляд, вполне приемлем. В таблице показано, как меняются I (r_I) и II (r_{II}) координационные радиусы при введении атомов C, Sn и Ge в *a*-Si. Меняются средние значения валентных углов $\varphi = 2 \arcsin(r_{II}/2r_I)$, а также максимальное отклонение угла связи $\Delta\varphi$ от средней величины, которое определялось нами, согласно [6], по левой границе II пика радиальной функции.

Параметры структуры ближнего порядка аморфного кремния, легированного углеродом, оловом и германием (r_I , r_{II} — радиусы I и II координационных сфер, φ , $\Delta\varphi$ — среднее значение валентного угла и максимальное отклонение от этого среднего значения)

Состав	r_I , Å	r_{II} , Å	φ , град	$\Delta\varphi$, град
<i>a</i> -Si	2.35	3.90	112	29
<i>a</i> -Si _{0.9} C _{0.1}	2.15	3.80	124	31
<i>a</i> -Si _{0.8} C _{0.2}	2.05	3.75	132	~40
<i>a</i> -Si _{0.8} Ge _{0.2}	2.35	4.05	114	31
<i>a</i> -Si _{0.85} Sn _{0.15}	2.40	4.10	117	33

При введении атомов углерода в *a*-Si наблюдается уменьшение координационных радиусов. I максимум (см. таблицу и рис. 2) плавно перемещается от 2.35 (среднее межатомное расстояние в *a*-Si) к 2.05 Å (пределальное значение 1.89 Å — длина Si—C-связи), которая определяется суммой ковалентных радиусов с учетом дополнительного сближения за счет разности электроотрицательностей атомов C и Si). При введении 20 ат% углерода I координационная сфера перекрывается со II и полностью исчезает III максимум, который четко фиксируется при $r_{III} \approx 5.9$ Å в чистом *a*-Si. Средняя величина валентного угла

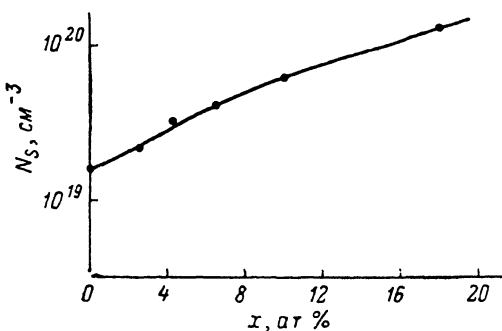


Рис. 4. Зависимость концентрации оборванных связей от содержания углерода в *a*-Si.

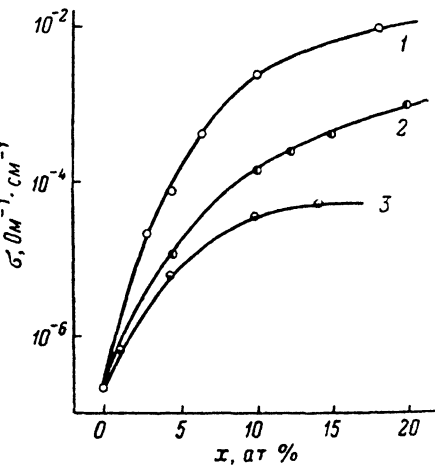


Рис. 5. Зависимость темновой проводимости σ ($T=300$ К) аморфного кремния от содержания примеси углерода (1), олова (2) и германия (3).

1 — *a*-Si_{1-x}C_x, 2 — *a*-Si_{1-x}Sn_x, 3 — *a*-Si_{1-x}Ge_x.

сильно отклоняется от идеального тетраэдрического угла $109^\circ 28'$. Разброс φ превышает 40° . Все это свидетельствует о сильном разупорядочении и нарушении ближнего порядка. В работе [7] отмечается, что изовалентные примеси в кристалле являются источниками полей упругих напряжений (область локализации $\sim 30 \pm 100$ Å), которые приводят к дополнительной генерации или стоку точечных дефектов. На рис. 4 показана зависимость концентрации оборванных связей N_s , определенной методом ЭПР, от концентрации изовалентного углерода, введенного в *a*-Si. Рост концентраций оборванных связей на атомах кремния (ЭПР центры с $g=2.0055$) свидетельствует о том, что в случайной сетке атомов накапливаются напряжения растяжения, которые приводят к разрыву этих связей.

Как видно из рис. 3 и таблицы, введение в $a\text{-Si}$ примеси германия не приводит к сильным изменениям в структуре ближнего порядка. Этот факт не является неожиданным, поскольку ковалентные радиусы атомов кремния и германия не сильно различаются ($r_{\text{Si}}=1.17$, $r_{\text{Ge}}=1.22 \text{ \AA}$). Введение же более крупных по размеру атомов олова ($r_{\text{Sn}}=1.40 \text{ \AA}$) приводит к более заметному увеличению координационных радиусов и искажению валентных углов.

4. Влияние изовалентных примесей на электрофизические свойства $a\text{-Si}$. На рис. 5 показано, как меняется темновая проводимость аморфного кремния при изовалентном легировании атомами углерода, олова и германия. Нелегированный $a\text{-Si}$ имеет проводимость $\sigma=1 \cdot 10^{-7} \text{ Ом}^{-1} \cdot \text{см}^{-1}$. При комнатной температуре ($T=300 \text{ K}$) в чистом аморфном кремнии осуществляется смешанный механизм проводимости, состоящий из прыжковой и активационной компонент. Введение изовалентных примесей приводит к переходу на чисто «моттовский» механизм проводимости. В этом случае проводимость осуществляется путем перескоков электронов по локализованным состояниям вблизи уровня Ферми [1]. С увеличением концентрации введенной примеси наблюдается рост σ . Введение $\sim 20 \text{ ат\%}$ углерода в $a\text{-Si}$ приводит к увеличению проводимости на 5 порядков величины. Такое же количество примеси олова и германия вызывает рост σ соответственно на 4 и 3 порядка. Исходя из того, что увеличение проводимости происходит за счет прыжковой компоненты, можно сделать вывод о росте плотности состояний на уровне Ферми N_F .

Однако возможны исключения из этого правила. Ранее проведенные нами исследования [8] показывают, что введение (при определенных условиях) небольшого количества изовалентной примеси германия ($\sim 1 \text{ ат\%}$) в $a\text{-Si}$ ведет к существенному снижению плотности состояний в щели подвижности. При этом осуществляется чисто зонный механизм проводимости. Дальнейшее увеличение концентрации германия в $a\text{-Si}$ вновь приводит к увеличению σ и N_F .

Немонотонный характер изменения физических свойств при увеличении концентрации изовалентной примеси в кристалле, по мнению авторов [7], связан с двумя противоположными механизмами воздействия изовалентных примесей на концентрацию дефектов. Короткодействующая составляющая примесного потенциала для дефектов обусловливает их связывание в комплексы, а дальнодействующий упругий потенциал — их генерацию. Мы считаем, что эти рассуждения вполне применимы к рассмотрению поведения дефектов при изовалентном легировании аморфного кремния.

Л и т е р а т у р а

- [1] Мотт Н., Дэвис Э. Электронные процессы в некристаллических веществах. М., 1982. 664 с.
- [2] Губанов А. И. Квантово-электронная теория аморфных полупроводников. М.—Л., 1963. 376 с.
- [3] Татаринова Л. И. Электронография аморфных веществ. М., 1972. 104 с.
- [4] Вайнштейн Б. К. — Кристаллография, 1957, т. 2, в. 1, с. 29—37.
- [5] Warren B. E., Krutter H., Morningstar O. — J. Am. Ceram. Soc., 1936, v. 19, p. 202—206.
- [6] Гордеев В. Н., Попов А. И., Филиков В. А. — Изв. АН СССР, Неорг. матер., 1980, т. 16, в. 10, с. 1733—1736.
- [7] Рытова Н. С., Соловьева Е. В. — ФТП, 1986, т. 20, в. 8, с. 1380—1387.
- [8] Хохлов А. Ф., Машин А. И., Ершов А. В., Мордвинова Ю. А., Машин Н. И. — ФТП, 1986, т. 20, в. 7, с. 1288—1291.